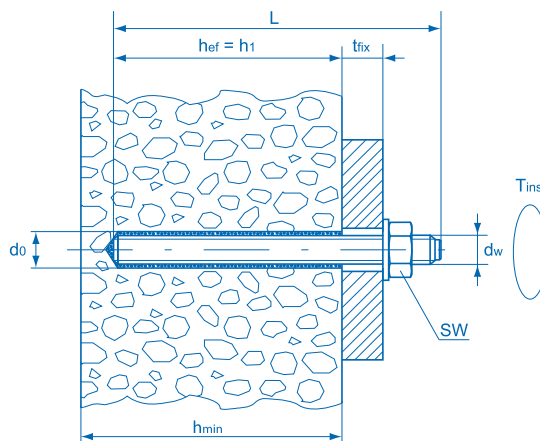


ERX 385S, ERX 585S, ERX 300 T, ERX 850 T — ХИМИЧЕСКИЙ КЛЕЕВОЙ АНКЕР НА ОСНОВЕ ЭПОКСИДНОЙ СМОЛЫ

ТЕХНИЧЕСКИЕ ХАРАКТЕРИСТИКИ

- d_0 – диаметр бура, мм
- h_{ef} – эффективная глубина анкеровки, мм
- t_{fix} – максимальная толщина прикрепляемой детали, мм
- h_1 – минимальная глубина отверстия, мм
- h_{min} – минимальная толщина базового основания, мм
- L – общая длина шпильки, мм
- d_w – диаметр резьбы шпильки, мм
- T_{inst} – рекомендованный момент затяжки, Нм



ПОДБОР ИЗДЕЛИЯ

| Обозначение | Артикул | Упаковка, шт. | Объем, мл | Дозатор | Срок годности, месяцев |
|-------------|---------|---------------|-----------|---------|------------------------|
| ERX 385S | 400027 | 12 | 385 | EGU-4 | 24 |
| ERX 585S | 400028 | 12 | 585 | EGU-44 | 24 |
| ERX 300 T | 400029 | 12 | 300 | EGU-5 | 24 |
| ERX 850 T | 400030 | 12 | 850 | EGU-55 | 24 |

СРЕДНИЕ ПРЕДЕЛЬНЫЕ, РАСЧЕТНЫЕ И ДОПУСКАЕМЫЕ НАГРУЗКИ НА ОДИНОЧНЫЙ КЛЕЕВОЙ ХИМИЧЕСКИЙ АНКЕР ERX 385S, ERX 585S, ERX 300 T, ERX 850 T С РЕЗЬБОВЫМИ ШПИЛЬКАМИ КЛАССА 5.8, 8.8 И А4 ДЛЯ СЖАТОЙ ЗОНЫ БЕТОНА С20/25

| Параметр | M8 | | | M10 | | | M12 | | | M16 | | | M20 | | | M24 | | | M27 | | | M30 | | |
|---|--|----------------|----------------|----------------|----------------|----------------|----------------|----------------|----------------|-----------------|-----------------|-----------------|-----------------|-----------------|-----------------|-----------------|-----------------|-----------------|-----------------|-----------------|-----------------|-----------------|-----------------|-----------------|
| | 5.8 | 8.8 | A4-70 | 5.8 | 8.8 | A4-70 | 5.8 | 8.8 | A4-70 | 5.8 | 8.8 | A4-70 | 5.8 | 8.8 | A4-70 | 5.8 | 8.8 | A4-70 | 5.8 | 8.8 | A4-70 | | | |
| Эффективная глубина анкеровки h_{ef} , мм | 60 160 | | | 60 200 | | | 70 240 | | | 80 320 | | | 90 400 | | | 96 480 | | | 108 540 | | | 120 600 | | |
| Средние предельные нагрузки N_u, V_u | | | | | | | | | | | | | | | | | | | | | | | | |
| Вырывающая нагрузка N_u , кН | 18,0* 18,0* | 29,0* 29,0* | 26,0* 26,0* | 29,0* 29,0* | 33,6* 46,0* | 30,0* 41,0* | 42,0* 42,0* | 42,3* 67,0* | 42,3* 59,0* | 51,9* 79,0* | 51,9* 126,0* | 51,9* 110,0* | 61,5* 123,0* | 61,5* 196,0* | 61,5* 172,0* | 68,1* 177,0* | 68,1* 282,0* | 68,1* 247,0* | 81,0* 230,0* | 81,0* 367,0* | 81,0* 231,0* | 95,1* 281,0* | 95,1* 449,0* | 95,1* 393,0* |
| Срезающая нагрузка V_u , кН | 9,0* | 15,0* | 13,0* | 15,1* | 23,0* | 20,0* | 21,0* | 34,0* | 30,0* | 39,0* | 63,0* | 55,0* | 61,0* | 98,0* | 86,0* | 88,0* | 141,0* | 124,0* | 115,0 | 184,0* | 161,0* | 140,0* | 224,0* | 196,0* |
| Расчетные нагрузки N_{rd}, V_{rd} | | | | | | | | | | | | | | | | | | | | | | | | |
| Вырывающая нагрузка N_{rd} , кН | 12,0 12,0 | 15,6 19,3 | 13,9 13,9 | 15,6 19,3 | 15,6 30,7 | 13,9 21,9 | 19,7 28,0 | 19,7 44,7 | 19,7 31,6 | 24,1 52,7 | 24,1 84,0 | 24,1 58,8 | 28,7 82,0 | 28,7 130,7 | 28,7 92,0 | 31,7 118,0 | 31,7 188,0 | 31,7 132,1 | 37,8 153,3 | 37,8 244,7 | 37,8 171,7 | 44,3 187,3 | 44,3 299,3 | 44,3 210,2 |
| Срезающая нагрузка V_{rd} , кН | 7,2 | 12,0 | 8,3 | 12,0 | 18,4 | 12,8 | 16,8 | 27,2 | 19,2 | 31,2 | 50,4 | 35,3 | 48,8 | 78,4 | 55,1 | 70,4 | 112,8 | 79,5 | 92,0 | 147,2 | 103,2 | 112,0 | 179,2 | 125,6 |
| Допускаемые нагрузки N_{rec}, V_{rec} | | | | | | | | | | | | | | | | | | | | | | | | |
| Вырывающая нагрузка N_{rec} , кН | 8,6 8,6 | 11,2 13,8 | 10,0 10,0 | 11,2 13,8 | 11,2 22,0 | 10,0 15,7 | 14,1 20,0 | 14,1 32,0 | 14,1 22,6 | 17,3 37,7 | 17,3 60,0 | 17,3 42,0 | 20,5 58,6 | 20,5 93,4 | 20,5 65,8 | 22,7 84,3 | 22,7 134,3 | 22,7 94,4 | 27,0 109,5 | 27,0 174,8 | 27,0 122,7 | 31,7 133,8 | 31,7 213,8 | 31,7 150,2 |
| Срезающая нагрузка V_{rec} , кН | 5,1 | 8,6 | 5,9 | 8,6 | 13,1 | 9,1 | 12,0 | 19,4 | 13,7 | 22,3 | 36,0 | 25,2 | 34,7 | 56,0 | 39,4 | 50,1 | 80,6 | 56,8 | 65,7 | 105,1 | 73,7 | 80,0 | 128,0 | 89,7 |
| Рекомендованный момент затяжки T_{inst} , Нм | 10 | | | 20 | | | 40 | | | 80 | | | 150 | | | 160 | | | 180 | | | 200 | | |
| Диаметр бура d_0 , мм | 10 | | | 12 | | | 14 | | | 20 | | | 24 | | | 28 | | | 30 | | | 35 | | |
| Минимальное осевое расстояние S_{min} , мм | 40 40 | | | 40 40 | | | 40 40 | | | 40 40 | | | 50 50 | | | 50 50 | | | 50 50 | | | 60 60 | | |
| Минимальное краевое расстояние S_{min} , мм | 40 40 | | | 40 40 | | | 40 40 | | | 40 40 | | | 50 50 | | | 50 50 | | | 50 50 | | | 60 60 | | |
| Минимальная толщина базового основания h_{min} , мм | $h_{ef} + 30 \text{ мм} \geq 100 \text{ мм}$ | | | | | | | | | $h_{ef} + 2d_0$ | | | | | | | | | | | | | | |
| Размер под ключ SW | 13 | | | 17 | | | 19 | | | 24 | | | 30 | | | 36 | | | 41 | | | 46 | | |

* Разрушение по стали

ERX 385S, ERX 585S, ERX 300 T, ERX 850 T — ХИМИЧЕСКИЙ КЛЕЕВОЙ АНКЕР НА ОСНОВЕ ЭПОКСИДНОЙ СМОЛЫ

СРЕДНИЕ ПРЕДЕЛЬНЫЕ, РАСЧЕТНЫЕ И ДОПУСКАЕМЫЕ НАГРУЗКИ НА ОДИНОЧНЫЙ КЛЕЕВОЙ ХИМИЧЕСКИЙ АНКЕР **ERX 385S, ERX 585S ERX 300 T, ERX 850 T**

С РЕЗЬБОВЫМИ ШПИЛЬКАМИ КЛАССА ПРОЧНОСТИ 5.8, 8.8 И А4 ДЛЯ РАСТЯНУТОЙ ЗОНЫ БЕТОНА С20/25

| Параметр | M8 | | | M10 | | | M12 | | | M16 | | | M20 | | | M24 | | | M27 | | | M30 | | | |
|---|----------------------|-------|-------|-----------|-------|-------|-----------|-------|-------|-----------|-------|-----------|-----------|-------|-------|-----------|--------|--------|------------|--------|--------|------------|--------|--------|--|
| | 5.8 | 8.8 | A4-70 | 5.8 | 8.8 | A4-70 | 5.8 | 8.8 | A4-70 | 5.8 | 8.8 | A4-70 | 5.8 | 8.8 | A4-70 | 5.8 | 8.8 | A4-70 | 5.8 | 8.8 | A4-70 | 5.8 | 8.8 | A4-70 | |
| Эффективная глубина анкеровки hef, мм | 60 160 | | | 60 200 | | | 70 240 | | | 80 320 | | | 90 400 | | | 96 480 | | | 108 540 | | | 120 600 | | | |
| Средние предельные нагрузки Nu, Vu | | | | | | | | | | | | | | | | | | | | | | | | | |
| Вырывающая нагрузка Nu, кН | 18,0* | 21,6 | 21,6 | 24,0 | 24,0 | 24,0 | 30,3 | 30,3 | 30,3 | 36,9 | 36,9 | 36,9 | 44,1 | 44,1 | 44,1 | 48,6 | 48,6 | 48,6 | 57,9 | 57,9 | 57,9 | 67,5 | 67,5 | 67,5 | |
| Срезающая нагрузка Vu, кН | 9,0* | 15,0* | 13,0* | 15,1* | 23,0* | 20,0* | 21,0* | 34,0* | 30,0* | 39,0* | 63,0* | 55,0* | 61,0* | 98,0* | 86,0* | 88,0* | 141,0* | 124,0* | 115,0 | 184,0* | 161,0* | 140,0* | 224,0* | 196,0* | |
| Расчетные нагрузки Nrd, Vrd | | | | | | | | | | | | | | | | | | | | | | | | | |
| Вырывающая нагрузка Nrd, кН | 10,0 | 10,0 | 10,0 | 11,2 | 11,2 | 11,2 | 14,1 | 14,1 | 14,1 | 17,2 | 17,2 | 17,2 | 20,5 | 20,5 | 20,5 | 22,6 | 22,6 | 22,6 | 26,9 | 26,9 | 26,9 | 31,5 | 31,5 | 31,5 | |
| Срезающая нагрузка Vrd, кН | 7,2 | 12,0 | 8,3 | 12,0 | 18,4 | 12,8 | 16,8 | 27,2 | 19,2 | 31,2 | 50,4 | 35,3 | 48,8 | 78,4 | 55,1 | 70,4 | 112,8 | 79,5 | 92,0 | 147,2 | 103,2 | 112,0 | 179,2 | 125,6 | |
| Допускаемые нагрузки Nrec, Vrec | | | | | | | | | | | | | | | | | | | | | | | | | |
| Вырывающая нагрузка Nrec, кН | 7,2 | 7,2 | 7,2 | 8,0 | 8,0 | 8,0 | 10,1 | 10,1 | 10,1 | 12,3 | 12,3 | 12,3 | 14,7 | 14,7 | 14,7 | 16,2 | 16,2 | 16,2 | 19,3 | 19,3 | 19,3 | 22,5 | 22,5 | 22,5 | |
| Срезающая нагрузка Vrec, кН | 5,1 | 8,6 | 5,9 | 8,6 | 13,1 | 9,1 | 12,0 | 19,4 | 13,7 | 22,3 | 36,0 | 25,2 | 34,7 | 56,0 | 39,4 | 50,1 | 80,6 | 56,8 | 65,7 | 105,1 | 73,7 | 80,0 | 128,0 | 89,7 | |
| Рекомендованный момент затяжки Tinst, Нм | 10 | | | 20 | | | 40 | | | 80 | | | 150 | | | 160 | | | 180 | | | 200 | | | |
| Диаметр бура d0, мм | 10 | | | 12 | | | 14 | | | 20 | | | 24 | | | 28 | | | 30 | | | 35 | | | |
| Минимальное осевое расстояние Smin, мм | 40 40 | | | 40 40 | | | 40 40 | | | 40 40 | | | 50 50 | | | 50 50 | | | 50 50 | | | 60 60 | | | |
| Минимальное краевое расстояние Cmin, мм | 40 40 | | | 40 40 | | | 40 40 | | | 40 40 | | | 50 50 | | | 50 50 | | | 50 50 | | | 60 60 | | | |
| Минимальная толщина базового основания hmin, мм | hef + 30 мм ≥ 100 мм | | | | | | | | | | | hef + 2d0 | | | | | | | | | | | | | |
| Размер под ключ SW | 13 | | | 17 | | | 19 | | | 24 | | | 30 | | | 36 | | | 41 | | | 46 | | | |

* Разрушение по стали



Монтаж арматурных выпусков

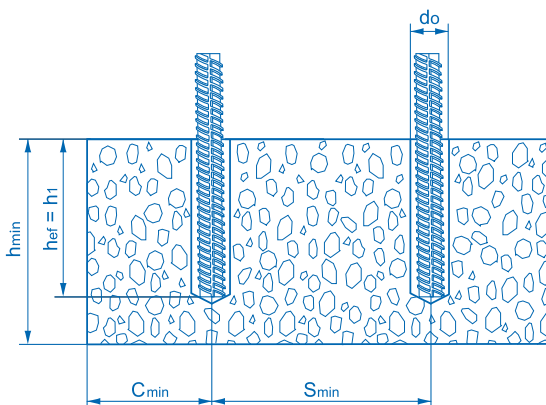


Монтаж металлоконструкций

ERX 385S, ERX 585S, ERX 300 T, ERX 850 T — ХИМИЧЕСКИЙ КЛЕЕВОЙ АНКЕР НА ОСНОВЕ ЭПОКСИДНОЙ СМОЛЫ

ТЕХНИЧЕСКИЕ ХАРАКТЕРИСТИКИ

d_0 – диаметр бура, мм
 h_1 – минимальная толщина отверстия, мм
 h_{min} – минимальная толщина базового основания, мм
 h_{ef} – эффективная глубина анкеровки, мм
 S_{min} – минимальное осевое расстояние, мм
 C_{min} – минимальное краевое расстояние, мм



ДОПУСКАЕМЫЕ НАГРУЗКИ НА ОДИНОЧНЫЙ КЛЕЕВОЙ ХИМИЧЕСКИЙ АНКЕР ERX 385S, ERX 585S ERX 300 T, ERX 850 T С АРМАТУРНЫМ ПРУТКОМ (ПРЕДЕЛ ТЕКУЧЕСТИ 500 МПА) ДЛЯ СЖАТОЙ ЗОНЫ БЕТОНА С20/25

| Параметр | Ø8 | Ø10 | Ø12 | Ø16 | Ø20 | Ø25 | Ø32 |
|---|----------------------|------------|------------|-----------------------|-------------|-------------|--------------|
| Эффективная глубина анкеровки h_{ef} , мм | 60/160 | 60/200 | 70/240 | 80/320 | 90/400 | 100/500 | 128/640 |
| Средние предельные нагрузки N_u, V_u | | | | | | | |
| Вырывающая нагрузка N_u , кН | 28,0*/28,0* | 33,6/43,0* | 42,3/62,0* | 51,9/111,0* | 61,5/173,0* | 72,3/270,0* | 104,7/442,0* |
| Срезающая нагрузка V_u , кН | 14,0* | 22,0* | 31,0* | 55,0* | 86,0* | 135,0* | 221,0* |
| Расчетные нагрузки N_{rd}, V_{rd} | | | | | | | |
| Вырывающая нагрузка N_{rd} , кН | 13,1/20,0 | 15,6/30,7 | 19,7/44,3 | 24,1/79,3 | 28,7/123,6 | 33,7/192,9 | 48,8/315,7 |
| Срезающая нагрузка V_{rd} , кН | 9,3 | 14,6 | 20,7 | 36,7 | 57,3 | 90,0 | 147,3 |
| Допускаемые нагрузки N_{rec}, V_{rec} | | | | | | | |
| Вырывающая нагрузка N_{rec} , кН | 9,4/14,3 | 11,2/21,9 | 14,1/31,6 | 17,3/56,6 | 20,5/88,5 | 24,1/137,9 | 34,9/225,5 |
| Срезающая нагрузка V_{rec} , кН | 6,6 | 10,4 | 14,8 | 26,2 | 40,9 | 64,2 | 105,2 |
| Диаметр бура d_0 , мм | 12 | 14 | 16 | 20 | 25 | 32 | 40 |
| Минимальное осевое расстояние S_{min} , мм | 40/40 | 40/40 | 40/40 | 40/40 | 50/50 | 50/50 | 70/70 |
| Минимальное краевое расстояние C_{min} , мм | 40/40 | 40/40 | 40/40 | 40/40 | 50/50 | 50/50 | 70/70 |
| Минимальная толщина базового основания h_{min} , мм | hef + 30 мм ≥ 100 мм | | | hef + 2d ₀ | | | |

* Разрушение по стали

ДОПУСКАЕМЫЕ НАГРУЗКИ НА ОДИНОЧНЫЙ КЛЕЕВОЙ ХИМИЧЕСКИЙ АНКЕР ERX 385S, ERX 585S ERX 300 T, ERX 850 T С АРМАТУРНЫМ ПРУТКОМ (ПРЕДЕЛ ТЕКУЧЕСТИ 500 МПА) ДЛЯ РАСТЯНУТОЙ ЗОНЫ БЕТОНА С20/25

| Параметр | Ø8 | Ø10 | Ø12 | Ø16 | Ø20 | Ø25 | Ø32 |
|---|----------------------|------------|------------|-----------------------|-------------|-------------|-------------|
| Эффективная глубина анкеровки h_{ef} , мм | 60/160 | 60/200 | 70/240 | 80/320 | 90/400 | 100/500 | 128/640 |
| Средние предельные нагрузки N_u, V_u | | | | | | | |
| Вырывающая нагрузка N_u , кН | 17,1/28,0* | 24,0/43,0* | 30,3/62,0* | 36,9/111,0* | 43,8/173,0* | 51,3/270,0* | 74,4/442,0* |
| Срезающая нагрузка V_u , кН | 14,0* | 22,0* | 31,0* | 55,0* | 86,0* | 135,0* | 221,0* |
| Расчетные нагрузки N_{rd}, V_{rd} | | | | | | | |
| Вырывающая нагрузка N_{rd} , кН | 8,0/20,0 | 11,2/30,7 | 14,1/44,3 | 17,2/79,3 | 20,5/123,6 | 24,0/192,9 | 34,8/257,2 |
| Срезающая нагрузка V_{rd} , кН | 9,3 | 14,6 | 20,7 | 36,7 | 57,3 | 90,0 | 147,3 |
| Допускаемые нагрузки N_{rec}, V_{rec} | | | | | | | |
| Вырывающая нагрузка N_{rec} , кН | 5,7/14,3 | 8,0/21,9 | 10,1/31,6 | 12,3/56,6 | 14,6/88,5 | 17,1/137,9 | 24,9/183,7 |
| Срезающая нагрузка V_{rec} , кН | 6,6 | 10,4 | 14,8 | 26,2 | 40,9 | 64,2 | 105,2 |
| Диаметр бура d_0 , мм | 12 | 14 | 16 | 20 | 25 | 32 | 40 |
| Минимальное осевое расстояние S_{min} , мм | 40/40 | 40/40 | 40/40 | 40/40 | 50/50 | 50/50 | 70/70 |
| Минимальное краевое расстояние C_{min} , мм | 40/40 | 40/40 | 40/40 | 40/40 | 50/50 | 50/50 | 70/70 |
| Минимальная толщина базового основания h_{min} , мм | hef + 30 мм ≥ 100 мм | | | hef + 2d ₀ | | | |

* Разрушение по стали